

---

## دراسة فيزيائية لبعض خواص مركبات حديديات الكوبالت - قصدير

\*أحمد بكري العايدى

\*فوزي عبد الكريم اكرم

\*مجي محمد عباس

DOI: <https://doi.org/10.54172/mjsc.v14i1.880>

### الملخص

لقد تم دراسة بعض الخواص الفيزيائية بالإضافة إلى التركيب لأربع مركبات حديدية ذات النظام ( $\text{Co}_{1+x} \text{Sn}_x \text{Fe}_{2-2x} \text{O}_4$ ) والذي يحتوي على كميات مختلفة من عنصري الكوبالت والقصدير حيث أن  $x = 0.25, 0.5, 0.75$  and  $1$  ، حيث تم أولاً تحضير عينات هذا النظام بطريقة السيراميك مستخدمين في ذلك أكسايد كل من فلزات الكوبالت والقصدير والحديد بنقاوة  $99\%$  . لقد تم أولاً كبس هذه العينات ووضعها في فرن حراري عند  $1200^\circ\text{C}$  لمدة 24 ساعة . ثم تم دراسة تركيب هذه المواد المختلفة باستخدام جهاز الأشعة السينية ومن هذه الدراسة تبين لنا أن هذه المواد تتبع أحد التركيبات الحديدية الشهيرة وهو تركيب الأسبنيل Spinel structure . وبعد ذلك استخدمنا للتحليل جهاز الأشعة تحت الحمراء Infrared spectra . وتم بعد ذلك استخدام جهاز مطياف موساور Mossbauer spectra لمعرفة الحالة المغناطيسية التي تتبعها هذه التركيبات فتبين أن ثلاث ترکیبات من هذا النظم تتبع الحالة البارامغناطيسية عند درجة حرارة الغرفة ، بينما المركب الأخير والذي تزيد فيه نسبة الحديد يكون فري مغناطيسي Ferrimagnetic عند درجة حرارة الغرفة ، بعد ذلك تم تحليل النتائج والتي حصلنا عليها باستخدام طريقة ريفلد الشهيرة (Reitveld method) في علم البلورات .

Key words: ferrites, ceramic technique, firing process, soaking time, spinel structure, Mossbauer spectra, Infrared spectroscopy, and Reitveld method.

---

\*قسم الفيزياء ، كلية العلوم ، جامعة عمر المختار ، البيضاء – ليبيا ، ص.ب. 919 .

© للمؤلف (المؤلفون)، ينفع هذا المقال لسياسة الوصول المفتوح ويتم توزيعه بموجب شروط ترخيص إسناد المشاع الإبداعي 4.0 CC BY-NC

## المقدمة

لمركبات نظام :

الكيميائية بين المكونات الداخلة في التفاعل ،

وهي طريقة غير معتمدة . فمن خلال مراجعة

الأبحاث السابقة في هذا المجال وجدنا أنه من

الصعوبة تحضير مركب :

$(Co_{1+x} Sn_x Fe_{2-2x} O_4)$  بالطريقة الكيميائية

. [4]

لقد قمنا في هذا البحث بدراسة

الموضوعات الآتية :

I - تحضير المركب  $(Co_{1+x} Sn_x Fe_{2-2x} O_4)$ ,

with  $x = 0.25, 0.50, 0.75$ , and 1

بطريقة السيراميك المعتادة .

II - قياس العينات بوسائل الأشعة السينية

والأشعة تحت الحمراء ومطياف موسباور .

III - استخدام طريقة رينفلد لتحليل النتائج

باستخدام الكمبيوتر .

$(Co_{1+x} Sn_x Fe_{2-2x} O_4)$  الحديدي الأهمية

التكنولوجية العظمى نظراً لعدد من صفاته الفизيائية

الجيدة والمطلوبة ، منها على سبيل المثال امتلاكه

لصفة مغناطيسية التنشئ العالية وكذلك النفاذية

المغناطيسية العالية أيضاً . هذه الصفات بالإضافة

إلى درجات انصهارها العالية يجعلها مناسبة

ومطلوبة جداً في التكنولوجيا كصناعة قلوب

المحولات الكهربائية المستخدمة في الجهد العالي .

كما تستخدم سبائك منها لصناعة ملفات

الاستقبال في الأجهزة الكهربائية وكذلك المفاتيح

الكهربائية ذات المقاومة العالية ، كما

أن هذه المواد تستخدم كأواساط لتخزين الطاقة

[1, 2] . عموماً فإن طرق تحضير مثل هذه المواد

تنقسم إلى نوعين وهما [3] :

**الطريقة الأولى :** طريقة السيراميك ، وهذه الطريقة

تطلب حرق العينات في درجات حرارة

مرتفعة وهي الطريقة المعتادة والتي حضرت بها

هذه العينات .

**الطريقة الثانية :** الطريقة الكيميائية ، والتي تتطلب

ظروف تحضيرية معينة لكي تتم التفاعلات

## المواد وطرق البحث

### 1- تحضير العينات

يحتوي النظام  $(Co_{1+x} Sn_x Fe_{2-2x} O_4)$

والذي نحن بصدده على أربع مركبات مختلفة طبقاً

للقيمة 1  $x = 0.25, 0.50, 0.75$ , and 0.25 وهذا

المركيبات هي :

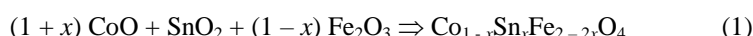
1)  $Co_{1.25} Sn_{0.25} Fe_{1.5} O_4$ , 2)  $Co_{1.5} Sn_{0.5} Fe_1 O_4$  3)  $Co_{1.75} Sn_{0.75} Fe_{0.5} O_4$  4)  $Co_2 Sn O_4$

كما هو مبين في جدول (1) .

**جدول 1** مركبات العينات المستخدمة

No	Ratio	Structure $\text{Co}_{1+x}\text{Sn}_x\text{Fe}_{2-2x}\text{O}_4$
1	0.25	$\text{Co}_{1.25}\text{Sn}_{0.25}\text{Fe}_{1.5}\text{O}_4$
2	0.50	$\text{Co}_{1.5}\text{Sn}_{0.5}\text{Fe}_1\text{O}_4$
3	0.75	$\text{Co}_{1.75}\text{Sn}_{0.75}\text{Fe}_{0.5}\text{O}_4$
4	1.00	$\text{Co}_2\text{Sn O}_4$

كما أشرنا سابقاً ، لقد تم تحضير عينات هذه الأنظمة بطريقة السيراميك المعتادة . وطريقة السيراميك هذه عبارة عن ثلات خطوات رئيسية متتالية [6, 5] وهي :



**II- المرق (Firing)** : يتم بعد ذلك حرق هذه العينات في درجة حرارة  $1200^\circ\text{C}$  لمدة 24 ساعة حتى تتم التفاعلات الكيميائية في الحالة الصلبة (Solid state reactions) وبعد فحص كثافتها تكون حوالي 60% من القيمة النظرية المحسوبة لها .

نطاق معين داخل العينة [8, 7] .

### 3-2 مطياف موسباور

تعد ظاهرة موسباور ، وبالتالي قياسات موسباور ، واحدة من أهم الظواهر التي تحدث للمواد الحديدية في علمي الفيزياء والكيمياء [9] .

في استخدام أجهزة موسباور يتم قياس التفاعلات الضعيفة التي تحدث بين أنوبيه وذرات المواد الحديدية - والتي لا يمكن قياسها بالطرق التقليدية

**III- التشكيل (Forming)** : بعد المرق يتم تقطيع العينات في صورة الأقراص إلى أجزاء أقل بمقاسات مناسبة لأغراض القياسات الكهربائية والميكانيكية .

**2-2 مطياف الأشعة تحت الحمراء**  
لقد أدت سهولة استخدام جهاز الأشعة تحت الحمراء إلى انتشاره حيث أنه قد يستخدم في

### النتائج والمناقشة

#### 1- نتائج الأشعة تحت الحمراء

باستخدام جهاز الأشعة تحت الحمراء تبين لنا أن تركيب هذا النظام بأنواعه الأربع المختلفة هو الأسبينيل (spinel structure) وهو أحد التركيبات العديدة المعروفة للمواد الحديدية . والأشكال من (4-1) والتي تم الحصول عليها باستخدام نتائج جهاز الأشعة تحت الحمراء تشير إلى التركيبات المختلفة للعينيات الأربع تحت الدراسة وهي :

العادية – وذلك باستخدام أشعة ذات تردد معين . وكذلك تم قياس سرعة دوبлер الإزاحية كدالة في كثافة أشعة جاما الساقطة عليها والممتصة بواسطة جميع العينيات المستخدمة في النظام :  $(Co_{1+x} Sn_x Fe_{2-2x} O_4)$  وقد استخدمنا عنصر  $^{57}Co$  كمصدر لأنشة جاما والذي كان مختلط مع عنصر الباليديوم . لقد تمت معايرة جهاز مطياف موسباور باستخدام شرائح حديدية مختلفة بعد كل قياس .



حيث تبين لنا من هذه الأشكال الأربع أن بها قيمة الترددات المختلفة للعينيات الأربع التي تحتوي على عنصر القصدير ، فمنه نلاحظ زيادة قيمة حرمة التردد الواحد بزيادة كمية عنصر القصدير للمركب الواحد . كما أن زيادة كمية عنصر القصدير في المركبات تسبب تغير في كل من مكان وشكل حرمي النطاقين  $v_1, v_2$  و  $v_3, v_4$  .

حيث تبين لنا من هذه الأشكال الأربع أن بها قيمة حادة لشدة الأشعة الممتصة ، كما أنه لوحظ أثناء القياسات أيضاً أن نطاق حرزم التردد المنخفض  $v_4$  يكون أصعب من نطاقات حرزم الترددات الأخرى  $v_1, v_2, v_3$  ويظهر ذلك جلياً في رسومات جميع الأشكال . جدول (2) يبين قيم مواضع حرزم

جدول 2 حرزم الترددات المختلفة للعينيات المستخدمة

No	Sample	$v_1(\text{sec}^{-1})$	$v_2(\text{sec}^{-1})$	$v_3(\text{sec}^{-1})$	$v_4(\text{sec}^{-1})$
1	$Co_{1.25}Sn_{0.25}Fe_{1.5}O_4$	586	418	275	239
2	$Co_{1.5}Sn_{0.5}FeO_4$	586	418	272	240
3	$Co_{1.75}Sn_{0.75}Fe_{0.5}O_4$	573	433	275	240
4	$Co_2SnO_4$	665	473	348	240

#### 3- نتائج مطياف موسباور

بالستخدام جهاز مطياف موسباور ومن (5) الذي يوضح طيف العينة الأولى والتي تحتوي على 0.25 من عنصر القصدير حيث يتبيّن أنها تتفق مع حال رسم كثافات أشعة جاما للعينيات المستخدمة

مع نموذج زيان حيث يحتوى الشكل على شكلي (6, 7) . وبعد الحصول على نتائج تحليل موسياور تم استخدام برنامج تحليل موسفيت (Mossfit) لها لتحليل النتائج لجميع العينات كما هو في جدولى (4, 3) .

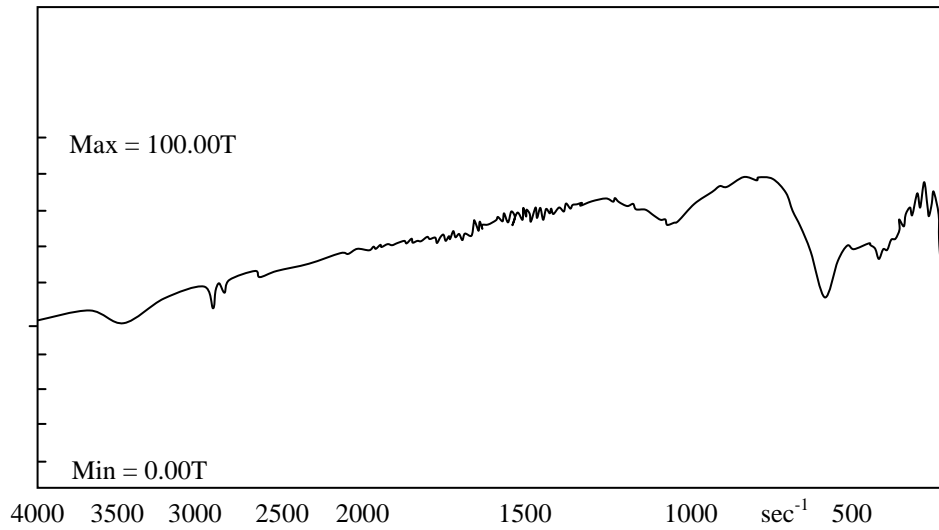
مع نموذج زيان حيث يحتوى الشكل على منطقتين منفصلتين . وعند زيادة نسبة معدن الخامصين عن 0.25 كما هو في العينات الثلاثة الأخرى فإنها تمتلك خاصية ثنائية القطب الرباعي (Quadrupole doublets) كما هو مبين في

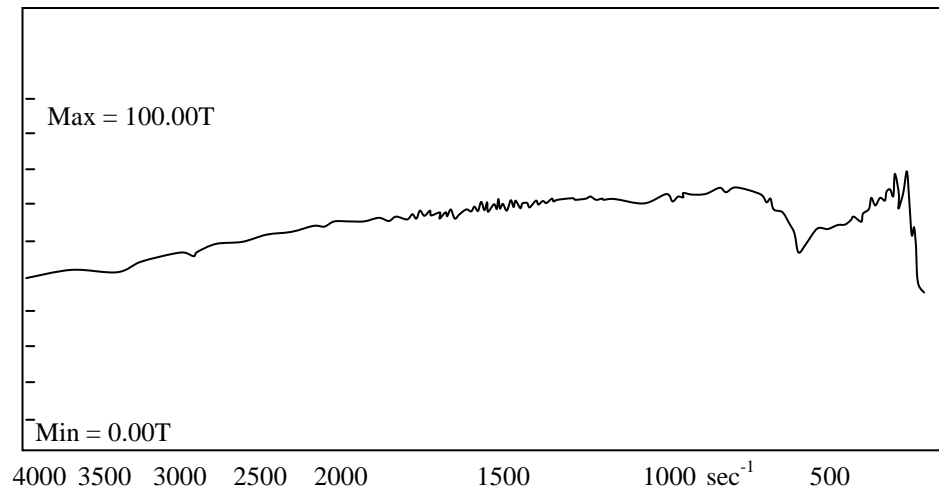
جدول 3 نتائج موسياور للعينات ( $\text{Co}_{1.25}\text{Sn}_{0.25}\text{Fe}_{1.5}\text{O}_4$ ) المستخدمة

Site	Room temperature (RT%) values	Isomer shift (IR values)
A-site	0.66, 0.70, 0.61, 0.70, 0.66	0.370
B-site	1.90, 1.73, 1.30, 1.30, 1.73	0.185

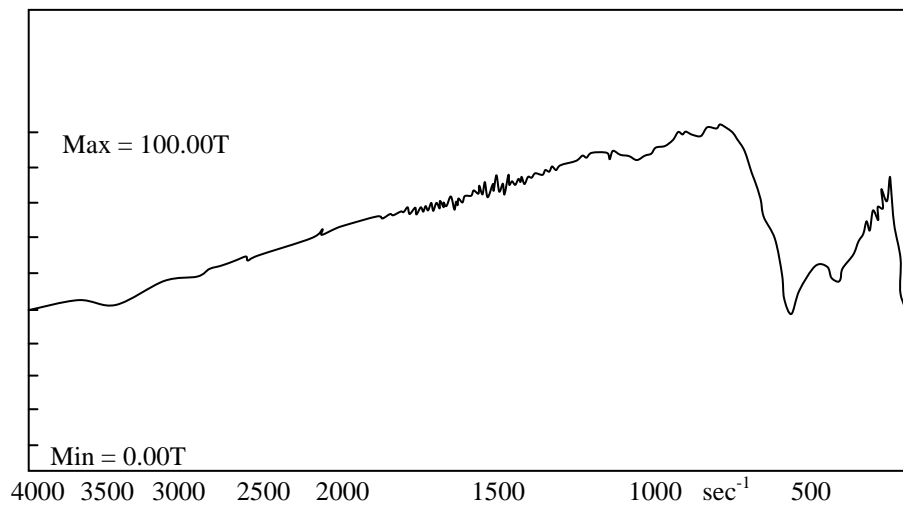
جدول 4 نتائج موسياور لكل من عينات ( $\text{Co}_{1.5}\text{Sn}_{0.5}\text{Fe O}_4$ ) and ( $\text{Co}_{1.75}\text{Sn}_{0.75}\text{Fe}_{0.5}\text{O}_4$ )

Site	$\text{Co}_{1.5}\text{Sn}_{0.5}\text{Fe O}_4$			$\text{Co}_{1.75}\text{Sn}_{0.75}\text{Fe}_{0.5}\text{O}_4$		
	RT%	$\Delta V$	IS	RT%	$\Delta V$	IS
A	1.23	0.36	0.50	1.23	0.36	0.55
B	1.36	1.26	0.15	1.28	1.48	0.32

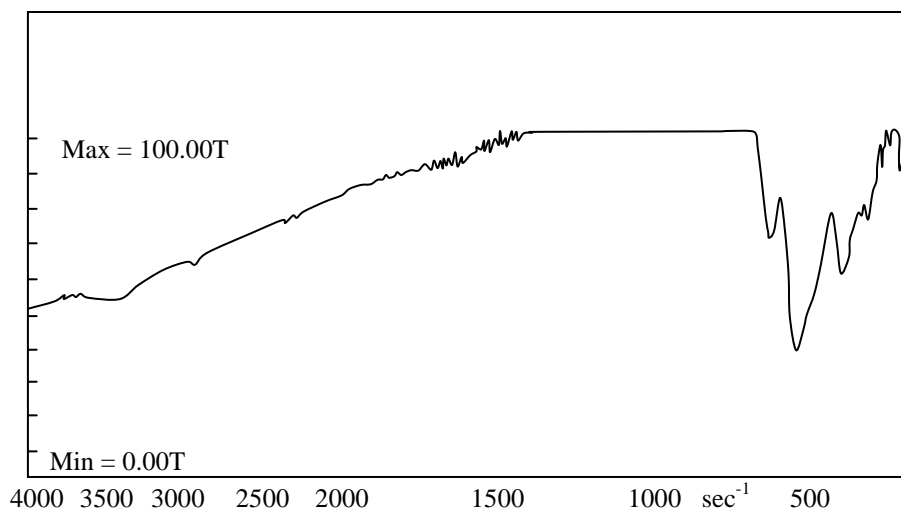
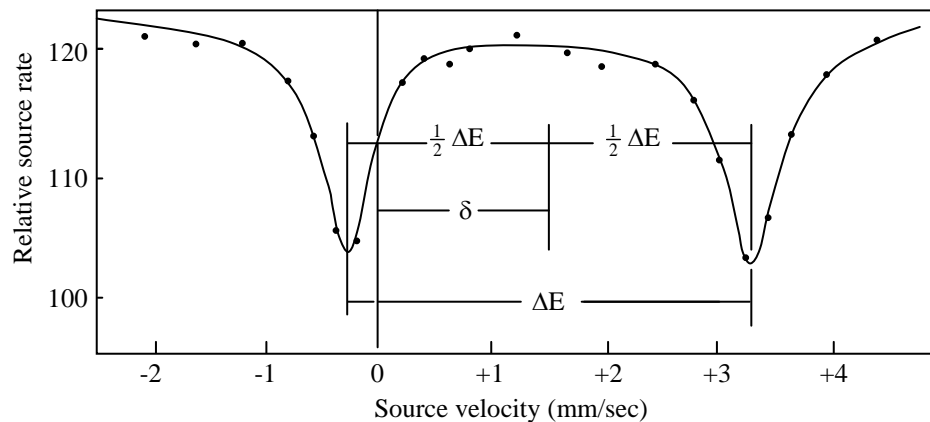
شكل 1 طيف الأشعة تحت الحمراء لمركبات  $\text{Co}_{1.25}\text{Sn}_{0.25}\text{Fe}_{1.5}\text{O}_4$



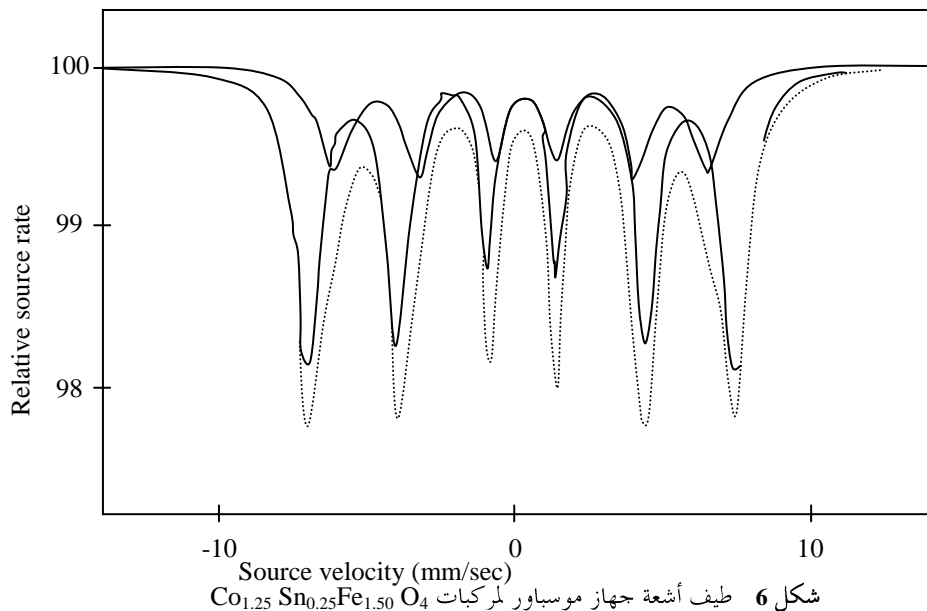
شكل 2 طيف الأشعة تحت الحمراء لمركبات  $\text{Co}_{1.50}\text{Sn}_{0.50}\text{FeO}_4$



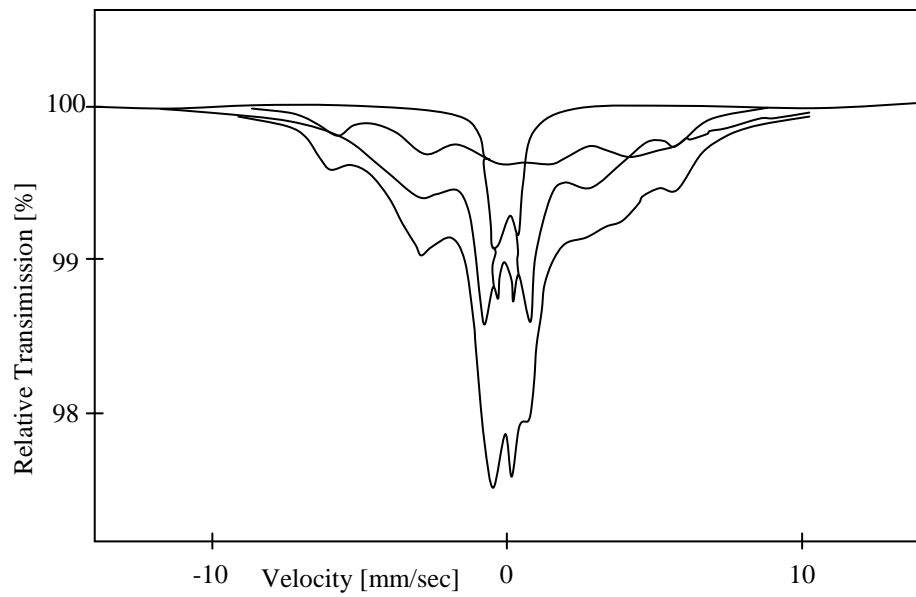
شكل 3 طيف الأشعة تحت الحمراء لمركبات  $\text{Co}_{1.75}\text{Sn}_{0.75}\text{Fe}_{0.50}\text{O}_4$

شكل 4 طيف الأشعة تحت الحمراء لمركبات  $\text{Co}_2 \text{SnO}_4$ شكل 5 انقسامات طيف امتصاصات مطياف موسياور الناتجة عن التدرج في المجال الكهربائي  $E$  وظاهرة تغير

الإيزمر IS



شكل 6 طيف أشعة جهاز موسياور لمركبات



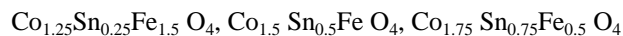
شكل 7 طيف أشعة جهاز موسياور لمركبات

موقع A بسبب زيادة نسبة عنصر القصدير في العينات كما يمكن تفسير هذه الزيادة بالتغيير في متغير عنصر الأكسجين وذلك لتركيب الأسبنيل [11] ، وكما هو موضح في الجداول (3) .

### الخلاصة

لقد تم اختيار المركب ذو النظام  $(Co_{1+x} Sn_x Fe_{2-x} O_4)$  وذلك من بين العديد من المركبات الحديدية المنتشرة ، حيث أن  $x = 1$  على كميات مختلفة من عنصر الكوبالت والقصدير حيث استخدمت طريقة السيراميك بأكسيد كل من فلزات الكوبالت والقصدير والحديد بقاوة جيدة 99 %. بعد عمليات تحضير هذه المواد التي تشمل مراحل عديدة منها الخلط بنسب كيميائية مناسبة ثم الكبس في درجة حرارة الغرفة ووضع هذه المواد في فرن حراري عند  $1200^{\circ}C$  لمدة 24 ساعة . ثم بعد ذلك ثمت دراسة تركيب هذه المواد المختلفة باستخدام جهاز الأشعة السينية حيث تبين أن هذه المواد جميعاً تتبع أحد التركيبات الحديدية الشهيرة وهو تركيب الأسبنيل Spinel structure . وبعد ذلك استخدمنا للتحليل جهاز الأشعة تحت الحمراء Infrared spectra ومن ثم استخدم جهاز مطياف موسباور Mossbauer spectra لمعرفة الحالة المغناطيسية التي تتبعها هذه التركيبات حيث تبين أن الثلاثة مركبات الأولى من هذا النظام وهي :

وجود منطقتين في الرسم للعينات كان متوقع من قبل ، وذلك لوجود شق أيون الحديد الثنائي  $Fe^{3+}$  في موضعين مختلفين وهم : رباعي الأضلاع وثماني الأضلاع Tetrahedral site A، and Octahedral site B) ( في وضعين مختلفين للتركيب الواحد ، مما يعطي مؤشراً على أن هذه العينات تكون مغناطيسية في درجة حرارة الغرفة . ومن نتائج جهاز موسباور أجريت الحسابات لتحديد قيم متشابهات الإزاحة (Isomer shift) فتبين أنها متساوية لكل من الوضعين (A, B) مما يتفق مع النتائج السابقة في هذا المجال [10] . كما أنه يفسر ظاهرة انقسام رباعي القطب الملاحظ (والذي يرمز له بالرمز  $\Delta$ ) ، حيث أن التدرج في قيمة المجال الكهربائي للعينات المختلفة التي تتحتوي على عنصر الحديد ناتج عن التوزيع الاسطواني غير المنظم لكل من الإلكترونات الثلاثة التي تخص ذرة الحديد وشحنة الإلكترونات المجاورة له ، مع ملاحظة أن التركيب الإلكتروني المتماثل لشق أيونات الحديديك  $Fe^{3+}$  لا تمتلكه ذرات عنصر معدن الحديد Fe . إن التدرج في قيمة المجال الكهربائي للعينات المختلفة الذي يظهره طيف موسباور تكون قيمته كبيرة في موضع B وصغيرة في موضع A لأنها في موضع B يكون هناك تماثل ثلاثي لشق أيون الحديديك  $Fe^{3+}$  . ويكون ملاحظ من نتائج موسباور أيضاً أن قيم انقسام رباعي القطب تكون كبيرة في موضع B وصغيرة في المختار للعلوم العدد الرابع عشر 2007م



تبعد الحالة البارامغناطيسية (paramagnetic state) حرارة الغرفة أيضاً . بعد ذلك تم تحليل التسائج عند درجة حرارة الغرفة ، بينما المركب الأخير (Reitveld بالاستعانة بطريقة رتفلد الشهيرة method) هو  $\text{Co}_2\text{SnO}_4$  الذي تزيد فيه نسبة الحديد يكون في علم البلورات باستخدام جهاز فري مغناطيسي Ferrimagnetic عند درجة الكمبيوتر .

---

## Some Physical Properties of Cobalt-Antimony Ferrites

F. A. Ikraiam<sup>(1)</sup>

A. B. Elaydy<sup>(2)</sup>

A. M. Abas<sup>(3)</sup>

---

### Abstract

Different samples for ferrite compounds of system  $\text{Co}_{1+x}\text{Sn}_x\text{Fe}_{2-2x}\text{O}_4$ , where hence  $x$  takes values 0.25, 0.5, 0.75 and 1, were synthesized by using ceramic technique method from their metal oxides of their purity more than 99.9%. The firing process was done at temperature 1200°C, and a soaking time of about 24 hours. X-ray diffraction (XRD) patterns of all used samples showed the cubic phase of spinel structure. The infrared spectra results have been obtained and analyzed, also the frequency bands were assigned, and it was found to be compositional parameter. The Mossbauer spectra technique at room temperature also has been used, and it indicates that all the compounds are principally paramagnetic. Only the iron rich compound is order ferrimagnetically and has magnetic transition temperature higher than room temperature. The crystal structure was refined for all the samples using whole pattern-fitting analysis of Reitveld method.

---

<sup>(1)</sup> Omar Al-Mukhtar University, P.O. Box. 919.

<sup>(2)</sup> Omar Al-Mukhtar University, P.O. Box. 919.

<sup>(3)</sup> Omar Al-Mukhtar University, P.O. Box. 919.

## المراجع

- Alder. E. and H. Pfeiffer, Soft Ferrites Properties, *IEEE Trans. Mag.* 10, 172 (1974).
- Tsunekawa, Hiroshi, et al., Microstructure and properties of commercial grade ferrites, *IEEE Trans. Mag.* 15, 1855 (1976).
- G. Albanese, M. Carboocluo and G. Asti, Characteristics and uses of ferrites, *Appl. Phys.* 11, 174 (1976).
- Araki, Shigeo and Okutani, Katsunobu, *Ferrites2-the state of the ferrite industry* (1979).
- N. Greenwood and T. G. Gibb, *Mossbauer effect spectroscopy*, Chapman and Hall, London, (1971).
- T. G. Stijntjes, J. Clerk, C. J. M. Rooymans, A. Broese Van Groenou, R. F. Pearson, J. E. Knowles and P. Rankin, Ferrites, *Proc. Internal. Conference* 191 (1970).
- T. G. Stijntjes, J. Clerk, C. J. M. Rooymans, A. Broese Van Groenou, R. F. Pearson, J. E. Knowles and P. Rankin, Ferrites, *Proc. Internal. Conference* 199 (1970).
- G. M. Kalvius, and E. Kankeleit, "Recent Improvement in instrumentation and methods of Mossbauer Spectroscopy and its Application", *International Atomic Energy Agency*, Vienna, 9 (1972).
- G. Kulkarni, and H. H. Joshi, *Solid State Commun.* 53, 1005 (1985).
- J. S. Baijal, C. Prakash, P. Kishan and K. K. Laro, *J Phys. C: Solid State*, 17, 5993 (1984).
- Van Uitert, L.G., Low magnetic saturation ferrites for microwave applications, *J: Appl. Phys.*, 26, 1289 (1955).